

# 通过传递函数的状态空间实现求 $H^\infty$ -范数

张钟俊 施颂椒 胡庭姝  
(上海交通大学自动控制系)

## 摘 要

本文揭示了传递函数的  $H^\infty$ -范数与其状态空间实现之间非常重要的关系, 并通过这种关系得出了一种求  $H^\infty$ -范数的简单方法.

**关键词:**  $H^\infty$ -控制,  $H^\infty$ -范数, 状态空间实现, 特征值轨迹.

## 一、引 言

传递函数的  $H^\infty$ -范数在数学上早就有过定义<sup>[1]</sup>, 但以前并未受到足够重视. 只是到了 1981 年 Zames 在文献 [2] 中提出了  $H^\infty$ -优化方法,  $H^\infty$ -范数才被越来越多的人所了解, 现已被广泛地用于系统分析和设计中.

如图 1 所示的反馈控制系统, 其中  $P(s)$  为被控对象,  $C(s)$  为反馈,  $d$  为噪声,  $y$  为输出. 假设系统闭环稳定, 则  $(I + PC)^{-1}$  的  $H^\infty$ -范数  $\|(I + PC)^{-1}\|_\infty$ , 表示了从噪声  $d$  到输出  $y$  的最大能量放大倍数.

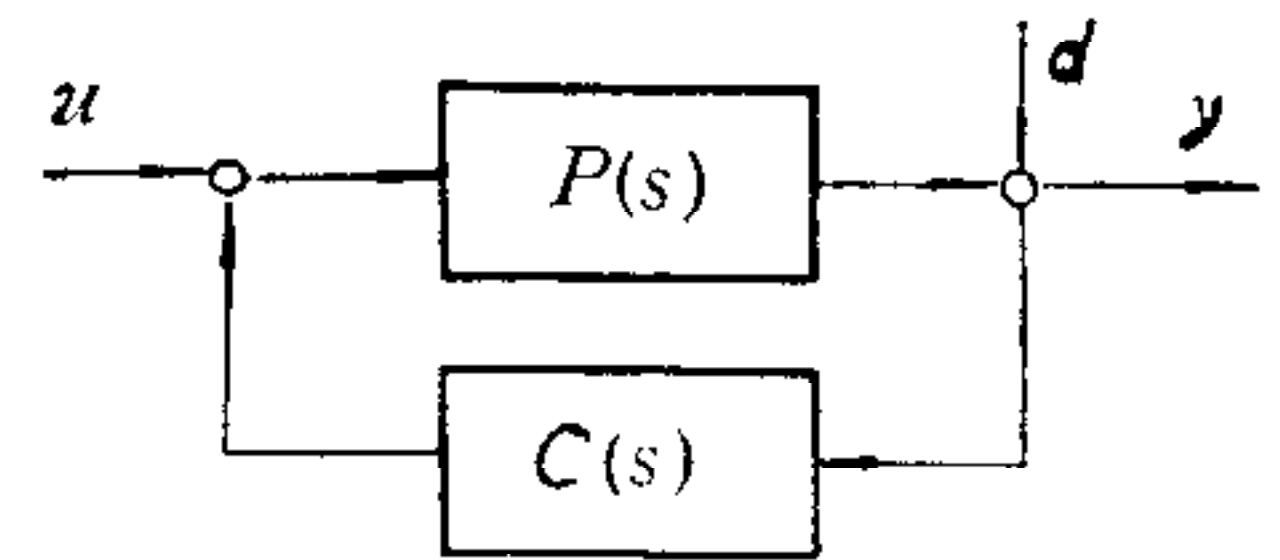


图 1 反馈控制系统框图

$$\|(I + PC)^{-1}\|_\infty = \sup_{D(s) \in H_2} \frac{\left[ \int_{-\infty}^{+\infty} |Y(j\omega)|^2 d\omega \right]^{\frac{1}{2}}}{\left[ \int_{-\infty}^{+\infty} |D(j\omega)|^2 d\omega \right]^{\frac{1}{2}}} = \sup_{d(t) \in L_2(R)} \frac{\left[ \int_{-\infty}^{+\infty} y^2(t) dt \right]^{\frac{1}{2}}}{\left[ \int_{-\infty}^{+\infty} d^2(t) dt \right]^{\frac{1}{2}}}$$

上式中,  $H_2$  表示所有有限能量信号的拉氏变换的集合,  $L_2(R)$  为所有有限能量信号的集合. 在文献 [2] 中, Zames 将  $\|W_1(I + PC)^{-1}W_2\|_\infty$  提为目标函数, 其中  $W_1, W_2$  分别为对输出和输入的加权. 将这一目标函数最小化, 就可实现对某一类噪声的最大抑制. 另外, 在鲁棒性分析和设计中,  $H^\infty$ -范数也起着很大的作用. 设(图 1)所示系统的  $P(s)$  由于参数扰动等原因变为  $\Delta P(s) + P(s)$ , 假如  $P(s)$  与  $\Delta P(s) + P(s)$  具有相同数目的右半复平面极点数, 且  $C(s)$  使  $P(s)$  稳定, 则只要  $\|\Delta PC(I + PC)^{-1}\|_\infty < 1$ ,  $\Delta P(s) + P(s)$  仍被  $C(s)$  稳定.

以上两例仅从一个侧面反映了 $H^\infty$ -范数在系统分析和设计中起着很重要的作用。在系统分析和设计中,有很多场合需要求出 $H^\infty$ -范数,但现有的 $H^\infty$ -范数的求法有限且比较繁琐,尤其是对多输入多输出系统,一般是求出 $\omega$ 从0至 $+\infty$ 之间的 $[\lambda_{\max}^{\frac{1}{2}}(P'(-j\omega)P(j\omega))]$ 值(比如选择一千个点),并选取最大值,才能得到 $\|P(s)\|_\infty$ 。文献[3]在这方面做了一些工作,但仅针对单输入单输出的离散系统,文献[5]涉及了一般MIMO系统,但并未给出明确求法。本文的目的之一就是要针对一般的MIMO系统,找出一种简单的求 $H^\infty$ -范数的方法。其次,是要找出传递函数的 $H^\infty$ -范数与其状态空间实现之间的直接关系。设系统的传递函数为 $F(s)$ ,则 $\|F(s)\|_\infty = \sup_{\omega} \bar{\sigma}[F(j\omega)]$ ,假如 $F(s)$ 为真、有理、稳定的,那么 $F(s)$ 具有状态空间实现 $[A, B, C, D]$ ,  $F(s) = C(sI - A)^{-1}B + D$ 。由于 $F(s)$ 由 $[A, B, C, D]$ 唯一地确定, $\|F\|_\infty$ 与 $A, B, C, D$ 之间必然存在某种联系,但目前已知的关系很间接。若能找出它们之间的直接关系,将有可能用状态空间的方法来实现 $H^\infty$ -优化目的,这样或许可能使现有的、相当繁琐的频域优化方法简化。

## 二、 $H^\infty$ -范数与状态空间实现之间的关系

已知一真、有理、稳定的传递函数 $F(s)$ ,它的 $H^\infty$ -范数被定义为

$$\|F\|_\infty := \sup_{\omega} \bar{\sigma}[F(j\omega)].$$

设 $[A, B, C, D]$ 为 $F(s)$ 的最小状态空间实现,即 $F(s) = C(sI - A)^{-1}B + D$ 。

**定理 1.** 设 $\|F\|_\infty > \bar{\sigma}[D]$ ,

令

$$A_F = \begin{bmatrix} -A' & -C'C \\ 0 & A \end{bmatrix}, \quad B_F = \begin{bmatrix} -C'D \\ B \end{bmatrix},$$

$$C_F = [B' \ D'C], \quad D_F = D'D.$$

令 $k_{\max} := \sup\{k, k \text{ 使 } A_F + B_F(k^2 I - D_F)^{-1}C_F \text{ 在虚轴上有特征值}\}$ 。

则 $k_{\max} = \|F\|_\infty$ 。

证明。可以验证, $F'(-s)F(s) = C_F(sI - A_F)^{-1}B_F + D_F$ 。由定义

$$\|F\|_\infty = \sup_{\omega} \bar{\sigma}[F(j\omega)] = \sup_{\omega} [\lambda_{\max}^{\frac{1}{2}} F'(-j\omega)F(j\omega)],$$

有

1) 如果 $k > \|F\|_\infty$ ,则对所有 $\omega$ , $\det[k^2 I - F'(-j\omega)F(j\omega)] \neq 0$ 。如果 $k = \|F\|_\infty$ ,则存在某一 $\omega_0$ ,使 $\det[k^2 I - F'(-j\omega_0)F(j\omega_0)] = 0$ ,所以, $\|F\|_\infty = \sup\{k, \text{存在 } \omega_0 \text{ 使 } \det[k^2 I - F'(-j\omega_0)F(j\omega_0)] = 0\}$ 。

2) 由于 $\|F\|_\infty > \bar{\sigma}[D]$ ,所以对于 $k > \|F\|_\infty$ ,有 $\det(k^2 I - D_F) \neq 0$ 。注意到 $D_F = D'D$ 。又因为 $\det[k^2 I - F'(-j\omega)F(j\omega)] = \det(k^2 I - C_F(j\omega I - A_F)^{-1}B_F - D_F)$ ,所以 $\det[k^2 I - F'(-j\omega)F(j\omega)] = \frac{\det(k^2 I - D_F)}{\det(j\omega I - A_F)} \det[j\omega I - A_F - B_F(k^2 I - D_F)^{-1}C_F]$

以上等式根据

$$\begin{aligned} \det \begin{bmatrix} k^2 I - D_F & C_F \\ B_F & j\omega I - A_F \end{bmatrix} &= \det(k^2 I - D_F) \cdot \det[j\omega I - A_F - B_F(k^2 I - D_F)^{-1} C_F] \\ &= \det(j\omega I - A_F) \cdot \det[k^2 I - D_F - C_F(j\omega I - A_F)^{-1} B_F], \end{aligned}$$

因此, 使  $\det[k^2 - F'(-j\omega)F(j\omega)]$  在某一  $\omega_0$  为零的最大  $k$  值等于使  $\det(j\omega I - A_F - B_F(k^2 I - D_F)^{-1} C_F)$  在某一  $\omega_0$  为零的最大  $k$  值, 即使  $A_F + B_F(k^2 I - D_F)^{-1} C_F$  在虚轴上有特征值的最大  $k$  值.

综合 1), 2), 有

$$\|F\|_\infty = \sup\{k, A_F + B_F(k^2 - D_F)^{-1} C_F \text{ 在虚轴上有特征值}\}. \quad \text{证毕.}$$

从  $H^\infty$ -范数的定义可知,  $\|F\|_\infty \geq \bar{\sigma}[D]$ , 定理 1 给出了  $\|F\|_\infty > \bar{\sigma}[D]$  时范数的性质, 而当  $\|F\|_\infty = \bar{\sigma}[D]$  时, 有

**定理 2.** 如果  $\|F\|_\infty = \bar{\sigma}[D]$ , 则对任何  $k > \bar{\sigma}[D]$ ,  $A_F + B_F(k^2 - D_F)^{-1} C_F$  在虚轴上没有特征值.

定理 2 的证明与定理 1 的证明类似, 此处略.

**推论 1.** 如果  $D = 0$ , 可定义

$$k_{\max} := \sup \left\{ k, \begin{bmatrix} -A' & -C'C \\ BB'/k^2 & A \end{bmatrix} \text{ 在虚轴上有特征值} \right\}.$$

则  $k_{\max} = \|F\|_\infty$ , 这与文献 [4] 的结论相同.

为了得到求  $k_{\max}$  的一般方法, 有必要给出一些关于集合  $\{k, k \text{ 使 } A_F + B_F(k^2 - D_F)^{-1} C_F \text{ 在虚轴上特征值}\}$  的性质, 以下用  $\text{set}[k]$  表示这一集合.

**定理 3.** 如果  $\|F\|_\infty > \bar{\sigma}[D]$ , 则  $(\bar{\sigma}[D], \|F\|_\infty] \subseteq \text{set}[k]$ .

证明. 因为  $F(s)$  是真有理、稳定的, 所以, 当  $\omega$  从 0 到  $+\infty$  变化时,  $\bar{\sigma}[F(j\omega)]$  为连续的, 又因为  $\bar{\sigma}[F(j\infty)] = \bar{\sigma}[D]$ , 所以对任何  $k \in (\bar{\sigma}[D], \|F\|_\infty]$ ,  $\det[k^2 - F'(-j\omega)F(j\omega)]$  在某一  $\omega_0$  为零, 根据定理 1 的证明, 这等效于  $A_F + B_F(k^2 - D_F)^{-1} C_F$  在虚轴上至少有两个特征值, 因此  $(\bar{\sigma}[D], \|F\|_\infty] \subseteq \text{set}[k]$ .

证毕.

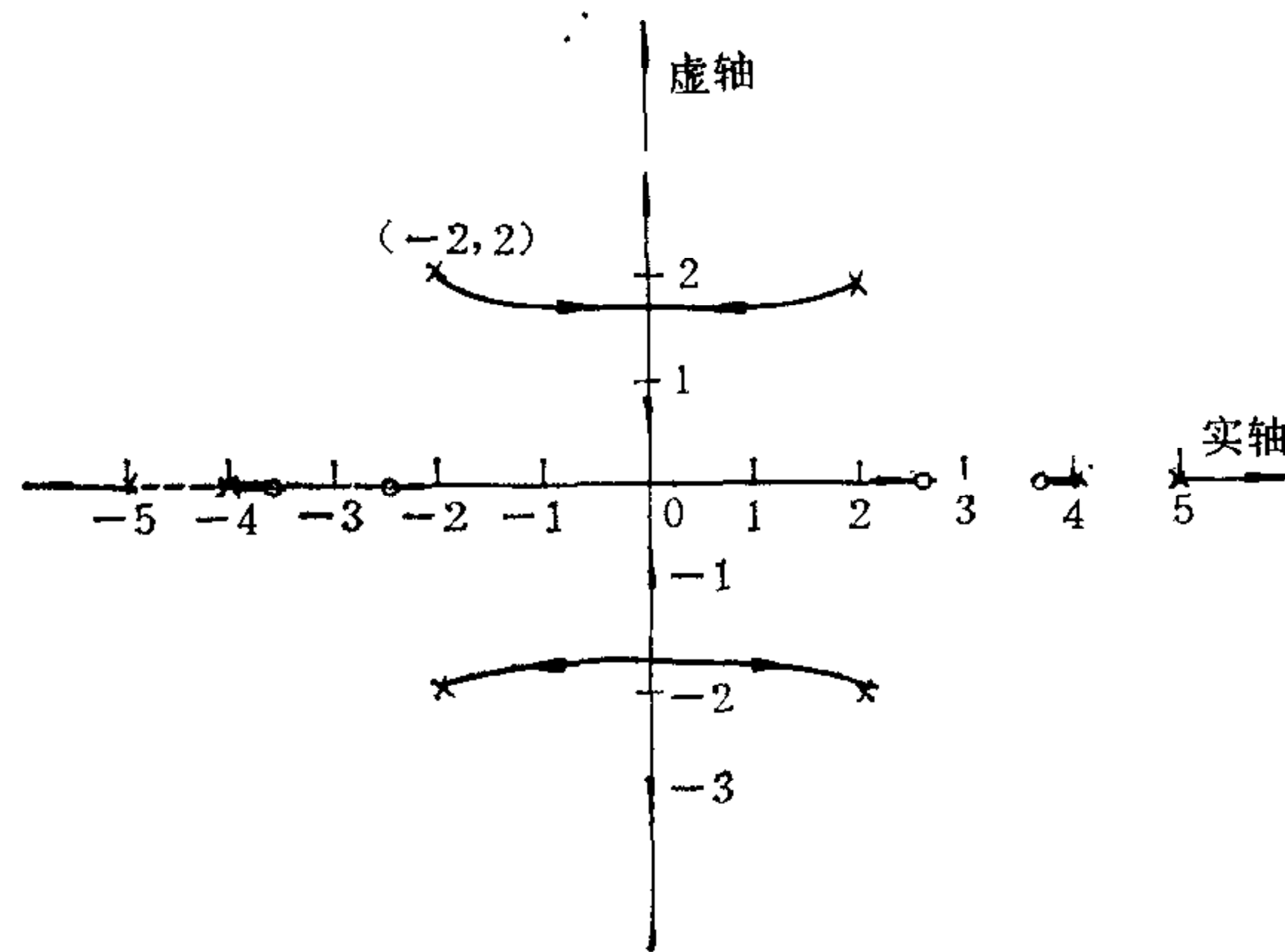
### 三、 $H^\infty$ -范数的求法

给定一传递函数  $F(s)$  及其最小实现  $[A, B, C, D]$ , 由上一节的定理,  $\|F\|_\infty$  可用以下步骤求出:

step1. 取  $k_0 = \bar{\sigma}[D]$ ,  $k_1 = 2k_0$ , (若  $D = 0$ , 令  $k_1 = 1$  或任意正数) 检验  $k_1$  是否属于  $\text{set}[k]$ , 若是, 则使  $k_1$  加倍,  $2k_1 \rightarrow k_1$ , 重复求 step1, 否则进行 step2.

step2. 令  $k_2 = \frac{k_0 + k_1}{2}$ , 如果  $k_2 \in \text{set}[k]$ , 则令  $k_0 = k_2$ , 否则令  $k_1 = k_2$ . 如果  $|k_0 - k_1| > \epsilon$ , ( $\epsilon$  为一预先给定的小正数), 则重复 step2, 否则停止迭代.

step2 每进行一次,  $k_0$  与  $k_1$  之间的距离缩小一倍, 假设  $|k_0 - k_1|$  的初值为  $M$ , 那么

图 2  $H^\infty$ -范数与根轨迹的关系

$n$  次迭代后  $|k_0 - k_1| = M/2^n$ . 通过以上迭代,  $\|F\|_\infty$  被确定在  $[k_0, k_1)$  中.

这种方法同样适用于  $\|F\|_\infty = \bar{\sigma}[D]$  的情况. 根据定理 2, step2 中的每一个  $k_2$  都不属于  $\text{set}[k]$ . 因而每次迭代  $k_2$  与  $\bar{\sigma}[D]$  的距离缩小一半.

例. 设  $F(s)$  的最小状态空间实现  $[A, B, C, D]$  取值为

$$A = \begin{bmatrix} -2 & 2 & 0 & 0 \\ -2 & -2 & 0 & 0 \\ 1 & 0 & -4 & 0 \\ 0 & 1 & 0 & -5 \end{bmatrix}, \quad B = \begin{bmatrix} 1 & 0 \\ 0 & 1 \\ 0 & 1 \\ 1 & 0 \end{bmatrix},$$

$$C = \begin{bmatrix} 1 & 0 & 1 & 0 \\ 0 & 1 & 0 & 1 \end{bmatrix}, \quad D = \begin{bmatrix} 2 & 0 \\ 0 & 1 \end{bmatrix}.$$

本例中  $\bar{\sigma}[D] = 2$ , 取  $k_1 = 4$ , 经过 14 次迭代可知,  $\|F\|_\infty$  在 2.4601 与 2.4602 之间取值, 当  $k$  从  $+\infty$  到  $\bar{\sigma}[D]$  之间变化时,  $A_F + B_F(k^2 - D_F)^{-1}C_F$  的特征值轨迹如图 2 所示.

## 四、结 束 语

本文指出,  $\|F\|_\infty$  等于使  $A_F + B_F(k^2 - D_F)^{-1}C_F$  在虚轴上有特征值的最大  $k$ . 其中  $[A_F, B_F, C_F, D_F]$  为  $F'(-s)F(s)$  的最小状态空间实现. 这一结论提供了一种求  $H^\infty$ -范数的简单方法. 与文献 [1—4] 相比, 本文的结论更具一般性和实用性; 与逐点法相比, 本文方法的精度能得到保证, 且减少了求特征值的次数, 更重要的是, 本文揭示了  $H^\infty$ -范数与状态空间实现的关系.

## 参 考 文 献

- [1] Douglas, R. G, Banach Algebra Techniques in Operator Theory, New York, Academic, 1972.
- [2] Zames, G., Feedback and Optimal Sensitivity: Model Reference Transformations, Multivariable Seminorms and Approximate Inverse, *IEEE Trans. Auto. Contr.* **AC-23**(1981), 301—320.
- [3] Guo, L., Xia, L. G. and Liu, Y., Recursive Algorithm for Computation of the  $H^\infty$ -norm of Polynomials, *IEEE Trans. Auto. Contr.*, **AC-33**(1988), 1154—1157.
- [4] Boyd, S., Balakrishnon, V. and Kabamba, P., On Computing the  $H^\infty$ -norm of a Transfer Matrix, *Math. Control, Signals and Systems*, (1989), No.2.
- [5] Robel, G., On Computing the Infinity Norm, *IEEE Trans. Auto. Contr.* **AC-34**(1989), 882—884.

## RELATION BETWEEN THE $H^\infty$ -NORM OF A TRANSFER MATRIX AND ITS STATE-SPACE REPRESENTATION

ZHANG ZHONGJUN SHI SONGJIAO HU TINGSHU

*(Shanghai Jiao Tong University)*

### ABSTRACT

Relation between the  $H^\infty$ -norm of a transfer matrix and its state-space representation is investigated in this paper. Using this relation, a simple method to calculate the  $H^\infty$ -norm of a transfer matrix is presented.

**Key words :**  $H^\infty$ -control;  $H^\infty$ -norm; state-space representation; eigenvalue.